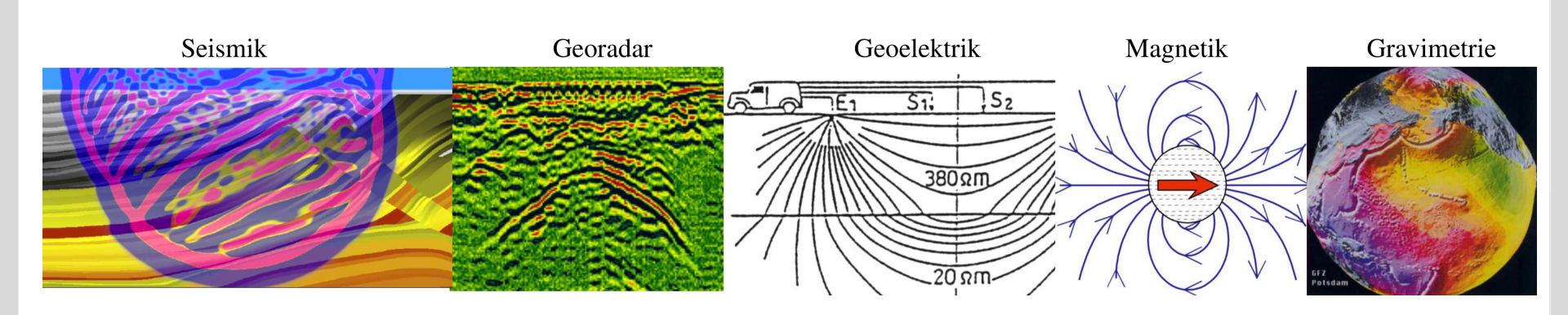


Einführung in die Geophysik I

Das Erdmagnetfeld

Thomas Bohlen, Geophysikalisches Institut, Fakultät für Physik

Geophysikalisches Institut, Fakultät für Physik



Gliederung



- 1. Mathematische Beschreibung
- 2. Zeitliche Variationen
- 3. Entstehung
- 4. Außenfeld

Erdmagnetfeld



Aufteilung

1. Innenfeld

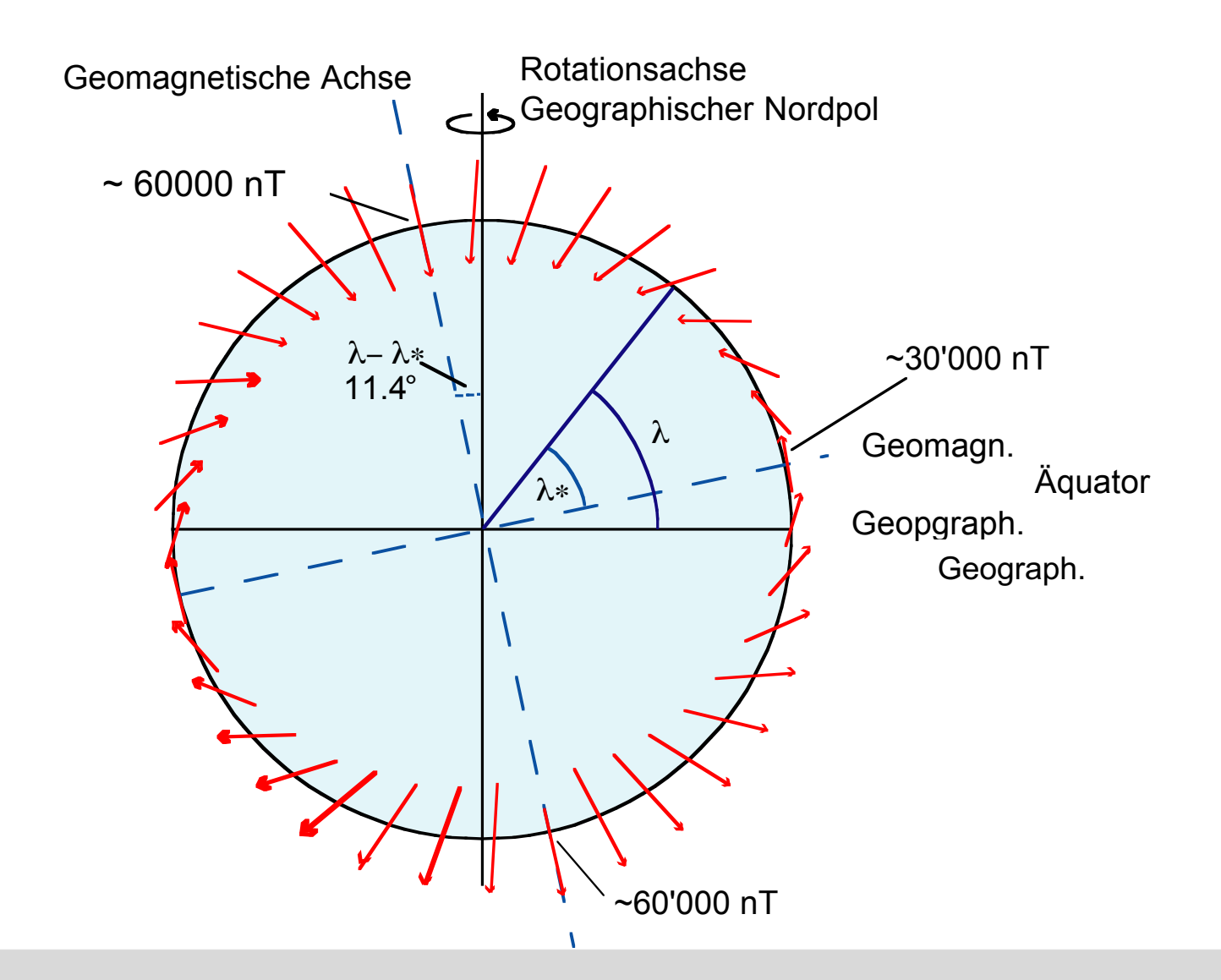
Dipolfeld: 95%

Nicht-Dipol-Feld ca. 5%

- 2. Außenfeld (Weltraum)
- 3. Lokale Anomalien (Magnetik nächste Woche)

Das Dipolfeld





Beschreibung des Dipolfeldes



Das magnetische Potenzial W an einem Punkt r kann als die Arbeit W definiert werden, welche gegen das Magnetfeld eines Pols der Polstärke p aufgebracht werden muss, um einen Einheitspol von r gegen das Feld nach unendlich zu verschieben.

$$W = -\int_{r}^{\infty} \mathbf{B} \, dr$$

Im Falle eines einzelnen Monopols ist das Potential

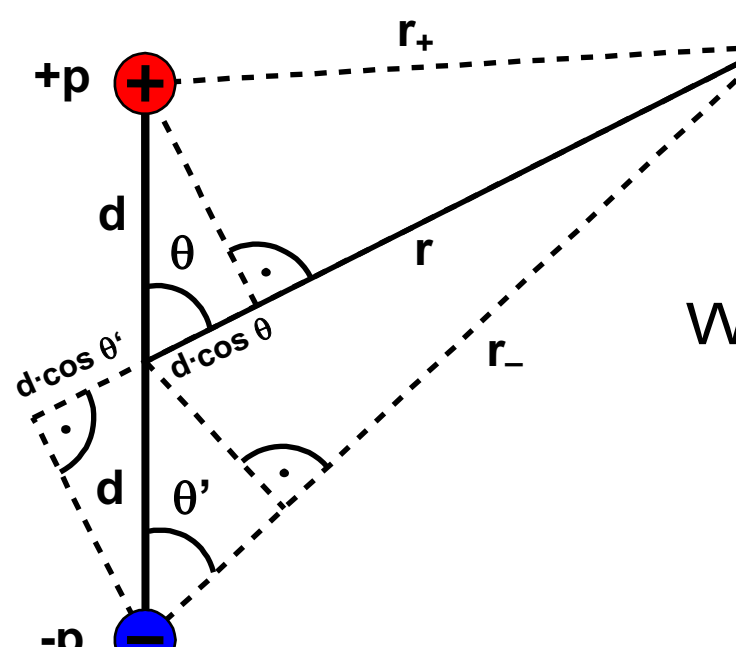
$$W = \frac{\mu_o}{4\pi} \frac{p}{r}$$

Das Magnetfeld B ist der Gradient des Potential W

$$\vec{B} = -grad(W)$$

Das Potential eines magnetischen Dipols





Am Punkt P besteht das Potential (W) aus einem Beitrag von jedem der beiden Pole

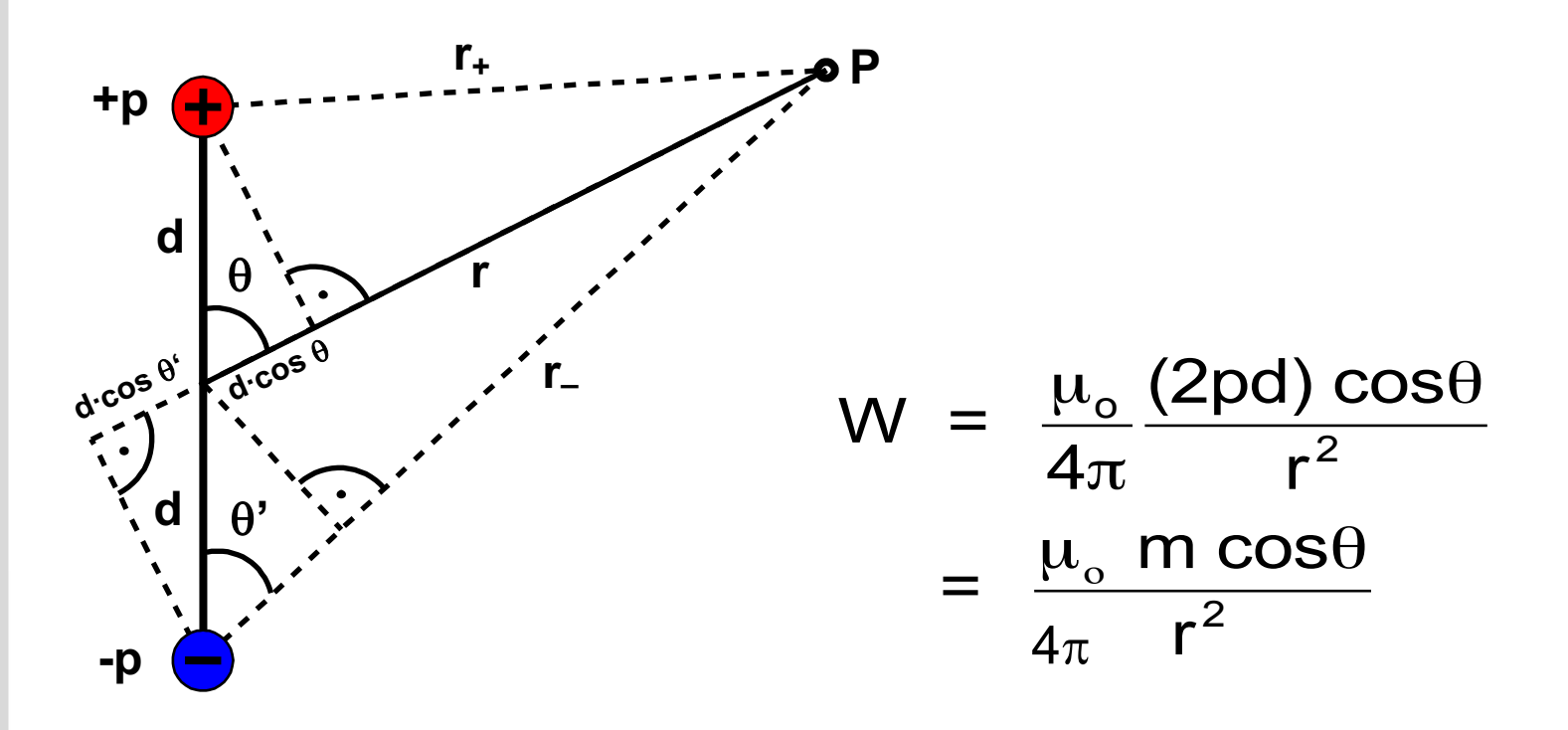
$$W = \frac{\mu_o}{4\pi} \left\{ \frac{p}{r_{_{\!\! +}}} - \frac{p}{r_{_{\!\! -}}} \right\} = \frac{\mu_o p}{4\pi} \left\{ \frac{r_{_{\!\! -}} - r_{_{\!\! +}}}{r_{_{\!\! -}}} \right\}$$

$$r_{+}^{2} = r^{2} + d^{2} - 2dr\cos\theta \qquad r_{+} \approx r - d\cos\theta$$
$$r_{-}^{2} = r^{2} + d^{2} + 2dr\cos\theta \qquad r_{-} \approx r + d\cos\theta$$

für d
$$<<$$
 r, $\theta' \rightarrow \theta$, und $\left(\frac{d}{r}\right)^2$ vernachlässigbar und somit $r_{-} - r_{+} \approx d(\cos\theta' + \cos\theta) \approx 2d \cos\theta$ $r_{-} r \approx r^2 - d^2 \cos^2\theta \approx r^2$

Das Potential eines magnetischen Dipols

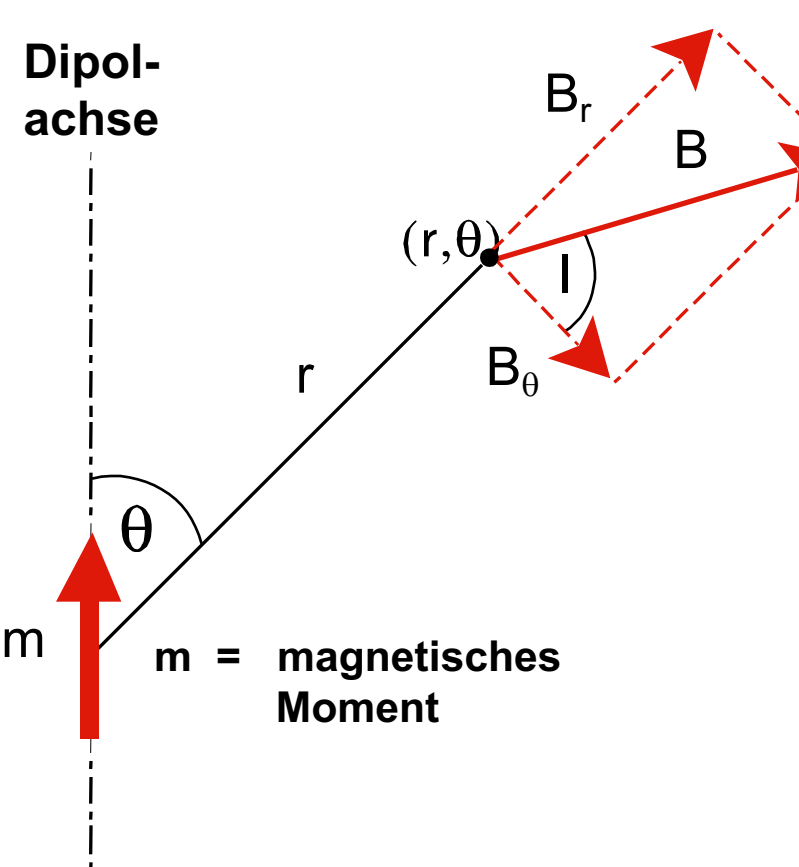




m=2dp ist das magnetische Moment des Dipols

Das Potential eines magnetischen Dipols





Potential des Dipols:

$$W = \frac{\mu_o}{4\pi} \frac{m \cos \theta}{r^2}$$

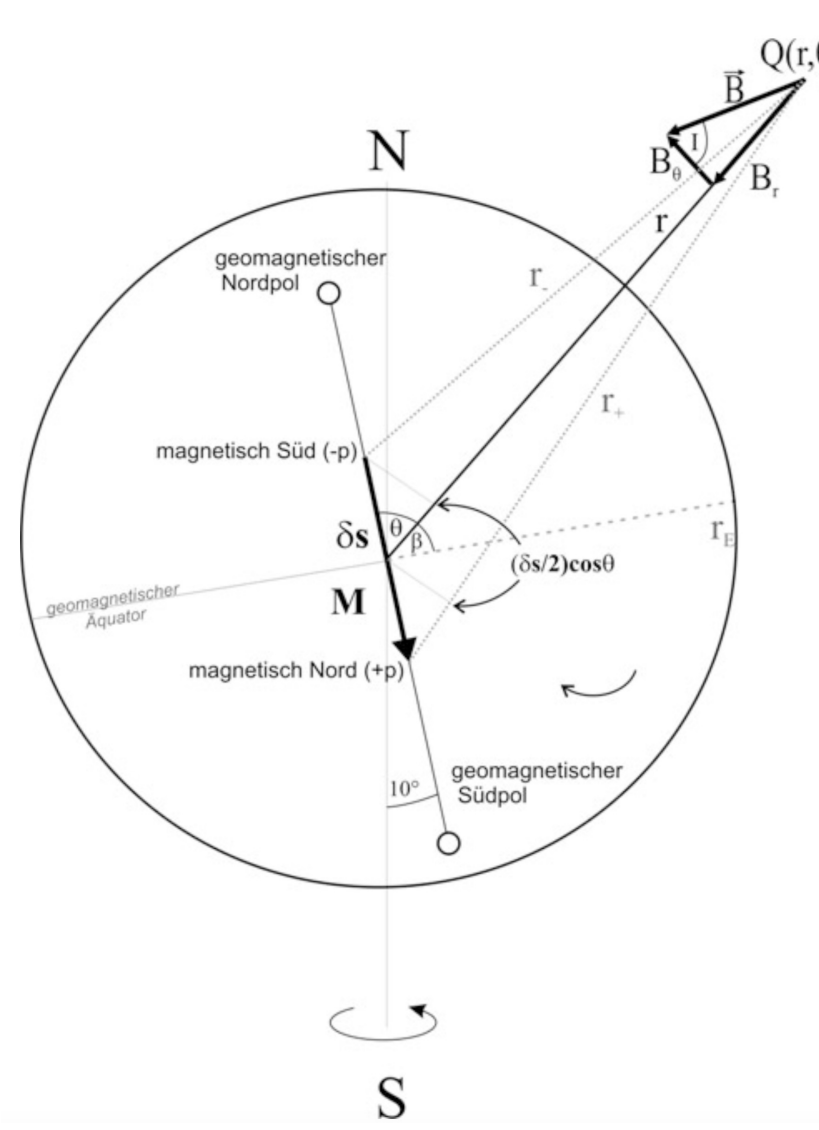
Das Feld hat eine radiale und eine transversale Komponente:

$$B_r = -\frac{dW}{dr} = \frac{\mu_o}{4\pi} \frac{2 \text{ m cos}\theta}{r^3}$$

$$B_{\theta} = -\frac{1}{r} \frac{dW}{d\theta} = \frac{\mu_0}{4\pi} \frac{m \sin \theta}{r^3}$$

Dipolfeld auf einer Kugel





Annäherung des Erdmagnetfelds durch einen zentralen magnetischen Dipol mit magnetischem Moment M ((Theta,Beta)=geomagnetische

Polhöhe und Breite)

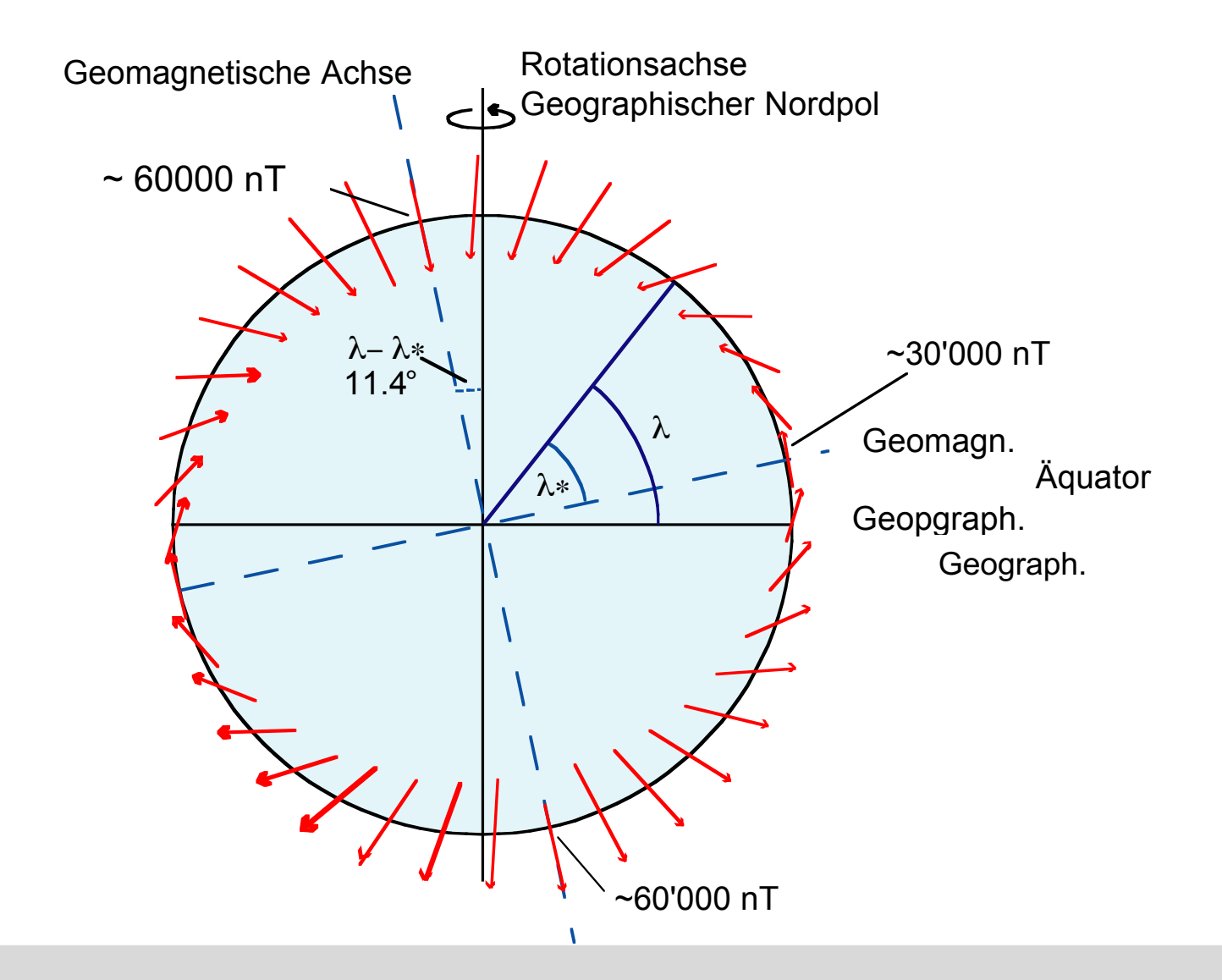
$$\begin{split} & (\mathsf{B}_r\text{:=}\mathsf{B}_\mathsf{z},\,\mathsf{B}_\mathsf{h}\text{:=}\mathsf{B}_\Theta) \\ & \theta = 0^\circ \text{ und } \beta = 90^\circ : \mathsf{B}_\mathsf{z}^{Pol} = \frac{\mu_0}{2\pi}\frac{M}{r^3} \text{ und } \mathsf{B}_\mathsf{h}^{Pol} = 0 \; ; \\ & \theta = 90^\circ \text{ und } \beta = 0^\circ : \mathsf{B}_\mathsf{z}^{\mathsf{Ä}q.} = 0 \text{ und } \mathsf{B}_\mathsf{h}^{\mathsf{Ä}q.} = \frac{\mu_0}{4\pi}\frac{M}{r^3} \; . \end{split}$$

Magnetfeldstärken für eine Kugel

$$\begin{split} B_z^{Pol} &= \frac{\mu_0}{2\pi} \, \frac{M}{r_E^3} = \frac{4\pi \times 10^{-7}}{2\pi} \, \frac{V\,\text{s}}{A\,\text{m}} \, \frac{7,75 \times 10^{22} \text{A}\,\text{m}^2}{(6,37 \times 10^6)^3\,\text{m}^3} \\ &= \frac{15,5 \times 10^{15}\,\text{V}\,\text{s}\,\text{m}}{(6,37 \times 10^6)^3\,\text{m}^3} = \frac{15,5 \times 10^{15}\,\text{V}\,\text{s}}{2,58 \times 10^{20}\,\text{m}^2} \\ &= 6,0078 \times 10^{-5} \text{T} = 60,078\,\mu\text{T} = 60\,078\,\text{nT}\,; \\ B_h^{Aq} &= \frac{\mu_0}{4\pi} \, \frac{M}{r_E^3} = \frac{4\pi \times 10^{-7}}{4\pi} \, \frac{V\,\text{s}}{A\,\text{m}} \, \frac{7,75 \times 10^{22}\,\text{A}\,\text{m}^2}{(6,37 \times 10^6)^3\,\text{m}^3} \\ &= \frac{7,75 \times 10^{15}\,\text{V}\,\text{s}\,\text{m}}{(6,37 \times 10^6)^3\,\text{m}^3} = \frac{7,75 \times 10^{15}\,\text{V}\,\text{s}}{2,58 \times 10^{20}\,\text{m}^2} \\ &= 3,0039 \times 10^{-5}\,\text{T} = 30,039\,\mu\text{T} = 30\,039\,\text{nT} \,. \end{split}$$

Das Dipolfeld





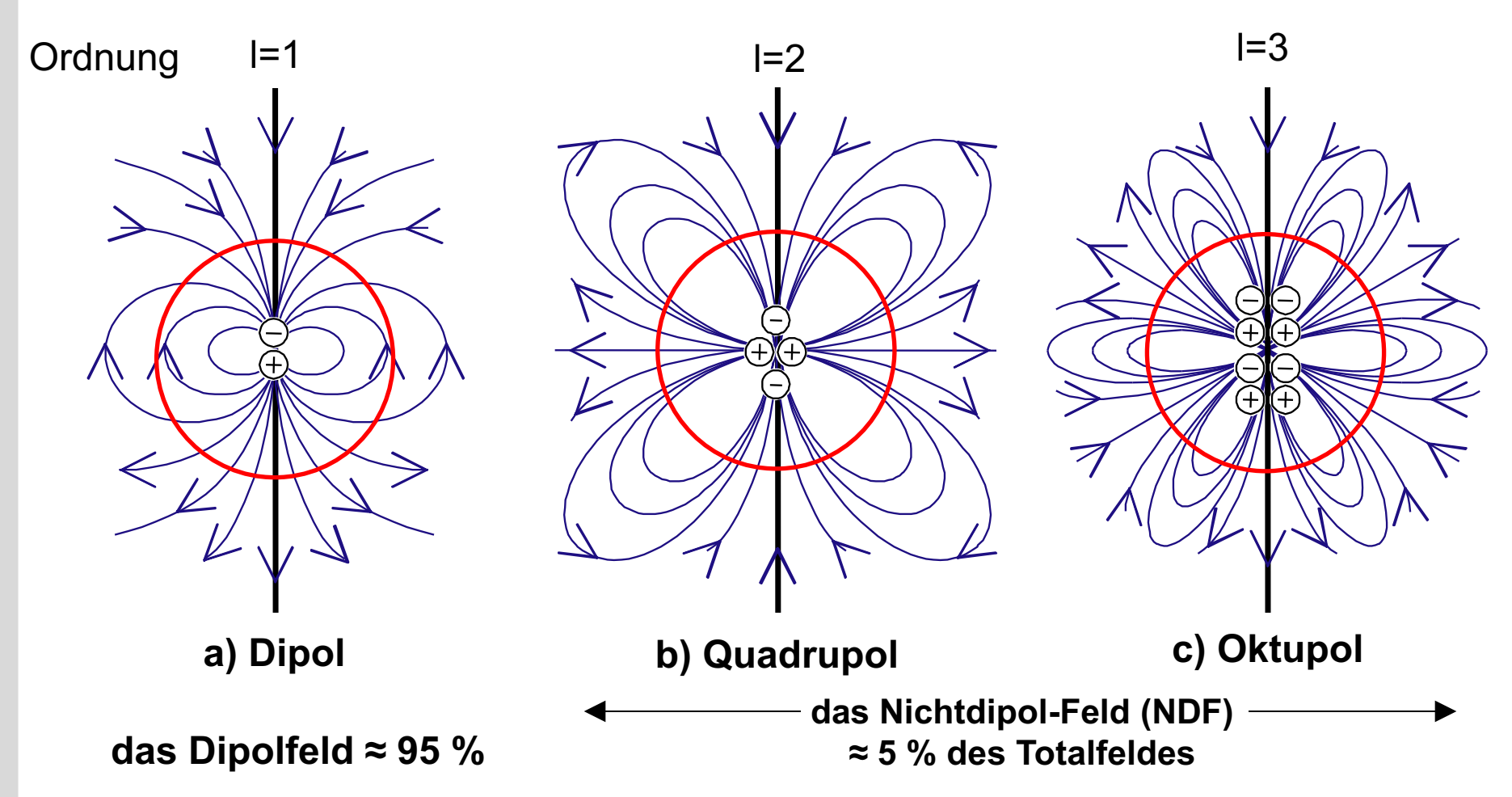
Gliederung



- Mathematische Beschreibung
 - Dipolfeld
 - Nicht-Dipolfeld
- Zeitliche Variationen
- Entstehung
- Außenfeld

Entwicklung des Feldes







Entwicklung des Feldes

B: Magnetfeld, V: Potential

$$\mathbf{B} = -\nabla \mathbf{V}$$

$$V(r, \theta, \lambda) = r_E \sum_{\ell=0}^{\infty} \left\{ (r/r_E)^{\ell} T_{\ell}^e + (r_E/r)^{\ell+1} T_{\ell}^i \right\} = V_e + V_i$$

mit den wie folgt definierten, auf äußere und innere Quellen bezogenen Termen T_{ℓ}^e und T_{ℓ}^i :

$$\begin{split} T_{\ell}^{e} &= P_{\ell}^{m}(\cos\theta) \left(g_{\ell}^{m,\,e} \cos m\lambda + h_{\ell}^{m,\,e} \sin m\lambda \right) \;; \\ T_{\ell}^{i} &= P_{\ell}^{m}(\cos\theta) \left(g_{\ell}^{m,\,i} \cos m\lambda + h_{\ell}^{m,\,i} \sin m\lambda \right) \;; \; \text{mit:} \end{split}$$

P: Kugelfunktionen, g,h: Gauß-Koeffizienten

Deklination und Inklination



Die geomagnetischen Feldelemente

Das Feld kann mit kartesischen Koordinaten beschrieben werden:

X (Nord), Y (Ost), Z (vertikal unten)

oder mit Kugelkoordinaten

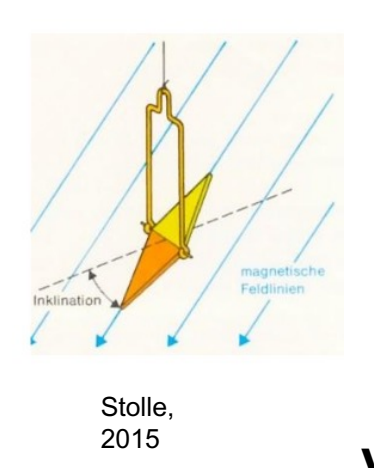
D (Deklination), I (Inklination),

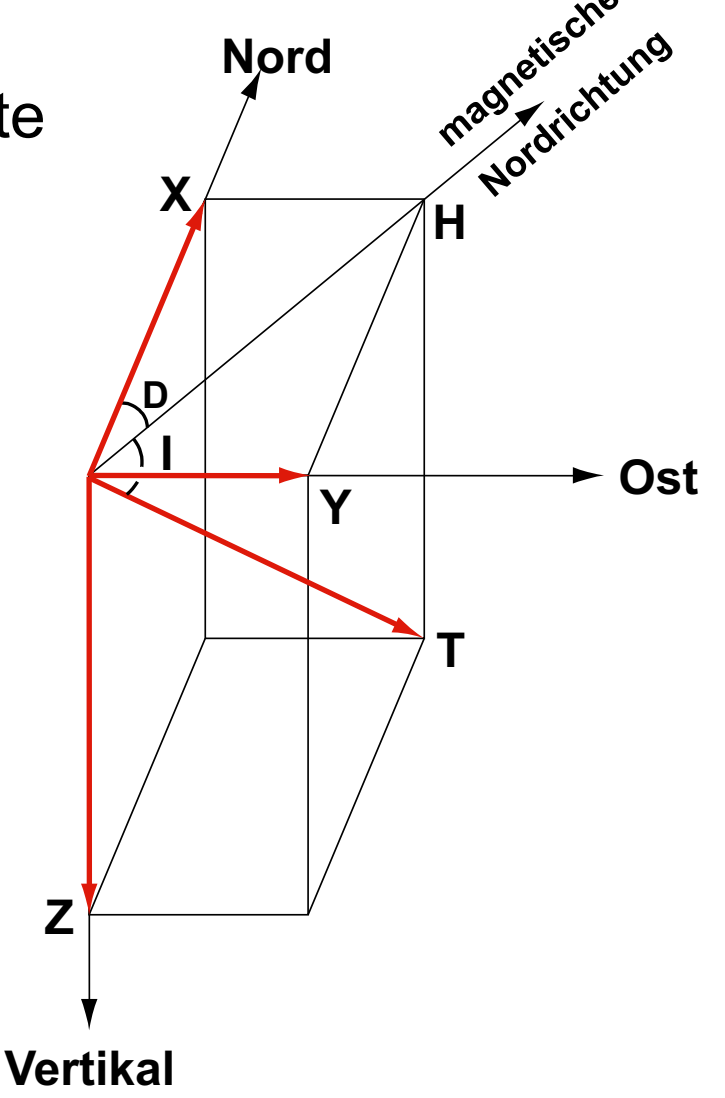
T (Totalintensität).

$$\tan D = \frac{Y}{X}$$

$$\tan I = \frac{Z}{\sqrt{X^2 + Y^2}}$$

$$T = \sqrt{(X^2 + Y^2 + Z^2)}$$

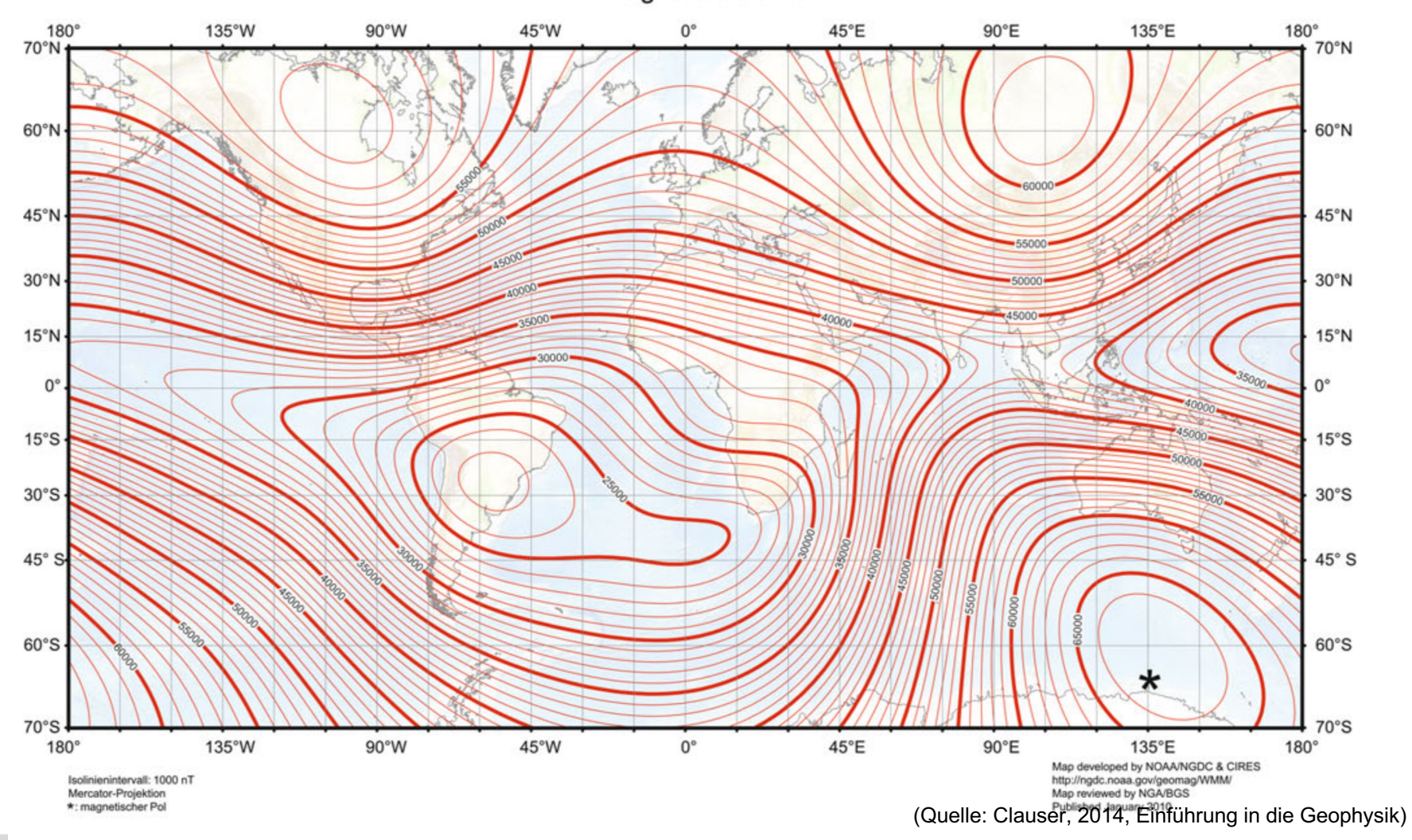




Totalintensität 2010



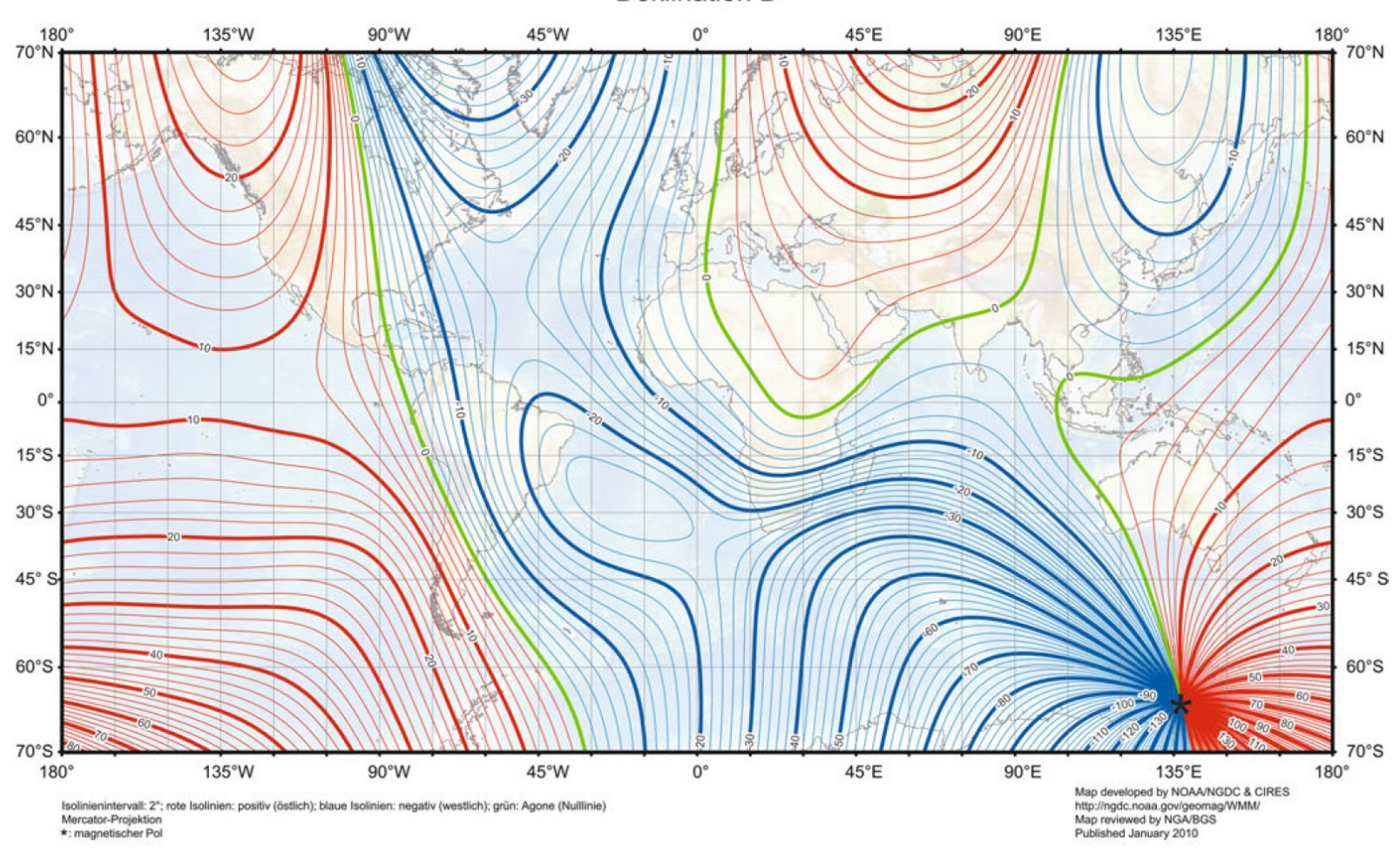
US/UK Globales Magnetfeldmodell -- Epoche 2010.0 MagnetfeldstärkeB



Deklination 2010



US/UK Globales Magnetfeldmodell -- Epoche 2010.0 Deklination D



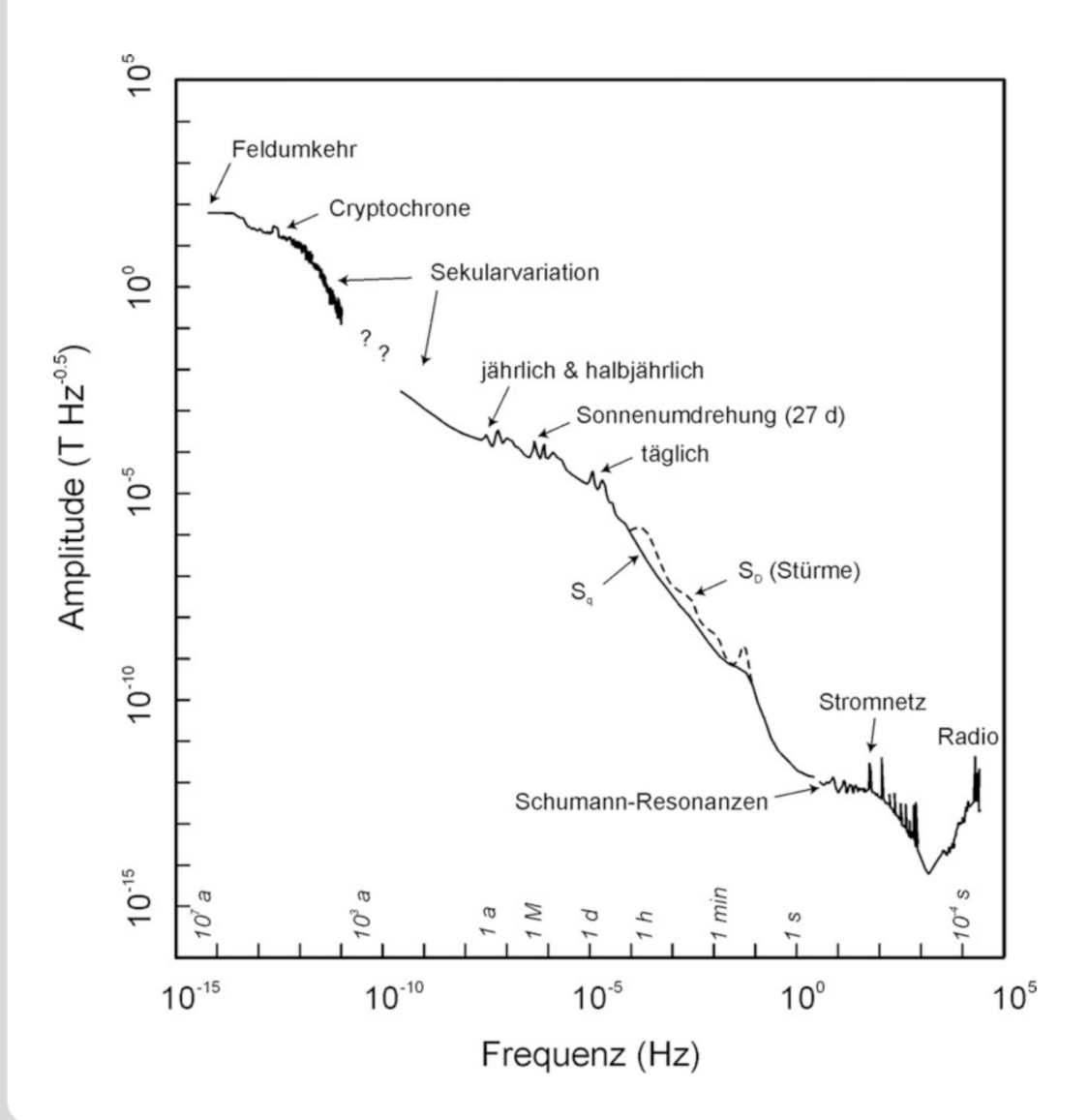
Gliederung



- Mathematische Beschreibung
 - Dipolfeld
 - Nicht-Dipolfeld
- Zeitliche Variationen
- Entstehung
- Außenfeld

Zeitliche Variationen

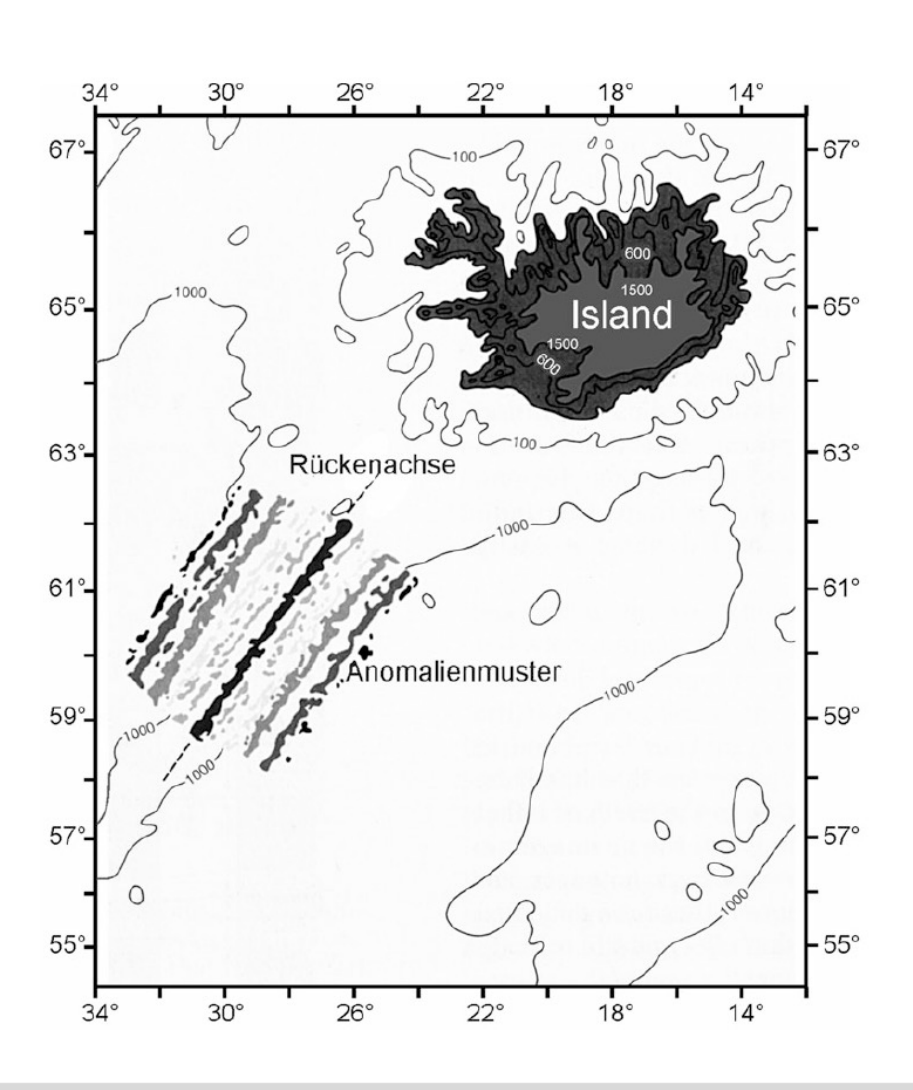


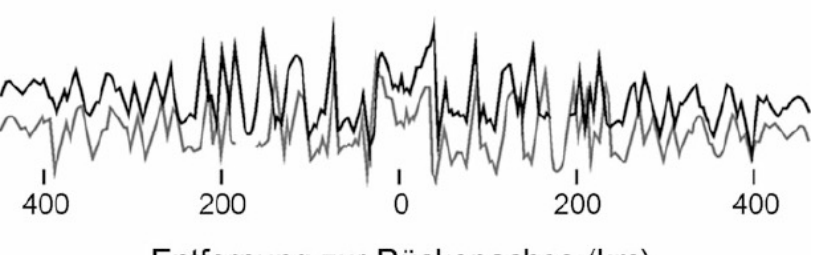


Breitbandiges
Amplitudenspektrum
geomagnetischer
Variationen mit
Bezeichnung der auf
unterschiedlichen
Zeitskalen
dominierenden
Prozesse

Feldumkehr







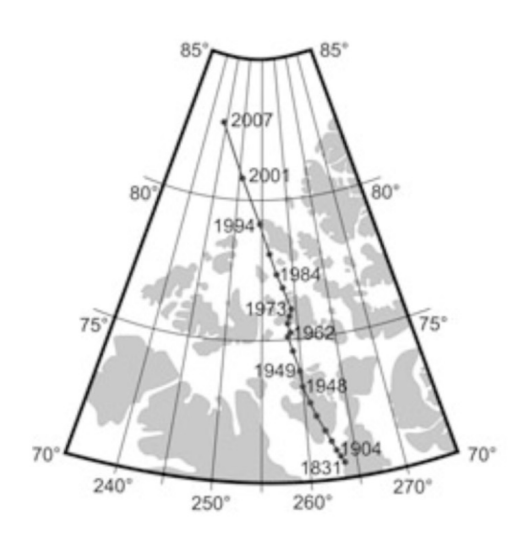
Entfernung zur Rückenachse (km)

Die Polumkehr des Erdmagnetfeldes ist beobachtbar als magnetische Streifenmuster entlang der mittelozeanischen Rücken

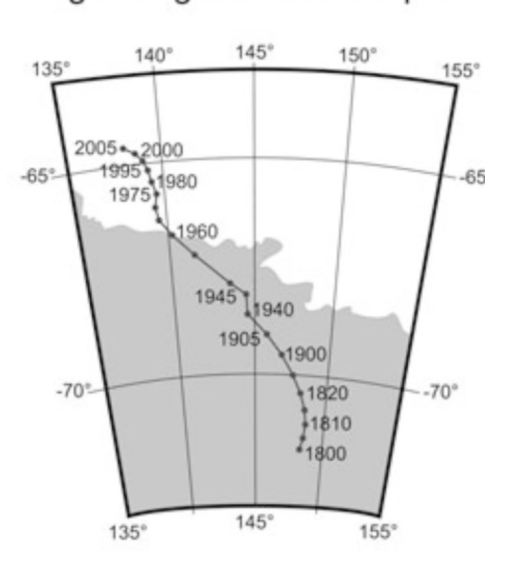
Polwanderung



a geomagnetischer Nordpol



geomagnetischer Südpol



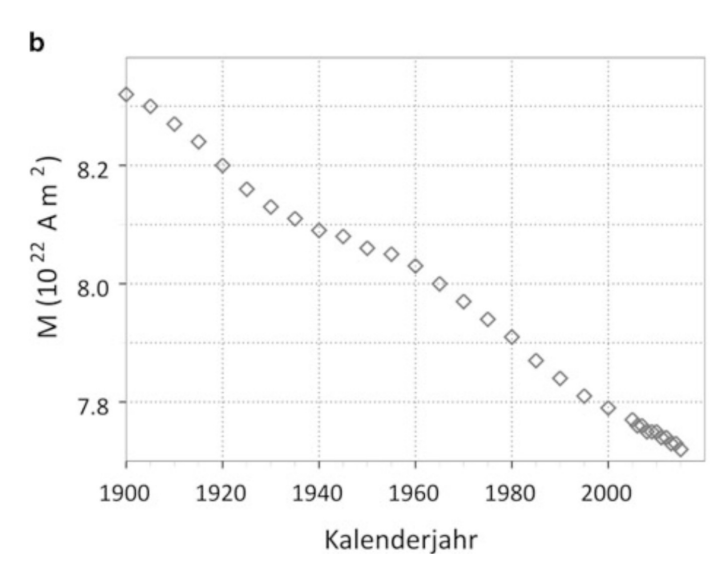
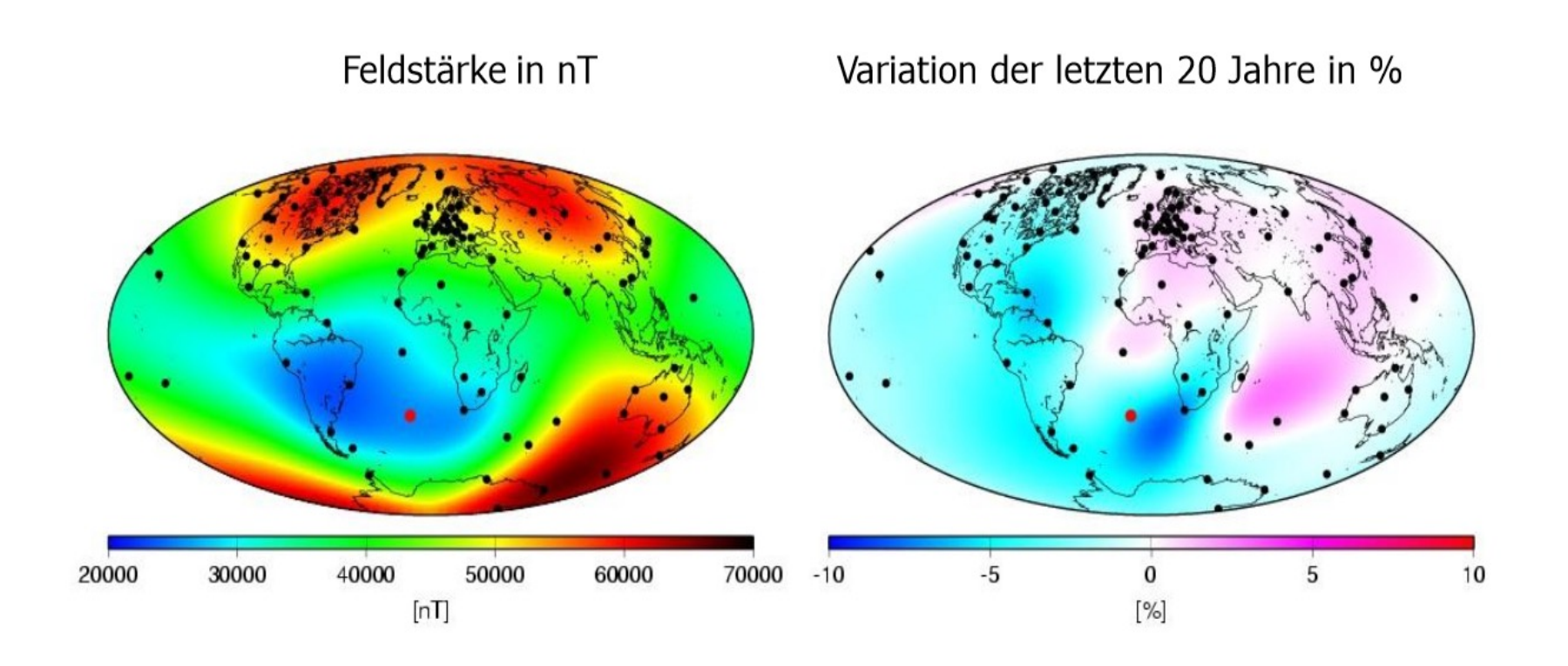


Abb. 5.7 Säkularvariation des Erdmagnetfelds: **a** Wanderung des magnetischen Nord- und Südpols von 1820 bzw. 1900 bis 2005. Derzeit wandern die Pole etwa 40 km pro Jahr in nordwestlicher Richtung (Daten mit Genehmigung des World Data Center for Geomagnetism, Kyoto: WDC 2010); **b** Abnahme des geomagnetischen Dipolmoments M im 20. Jahrhundert um ca. 5×10^{21} A m² (Daten: WDC 2010)

Ursache: zeitliche Veränderungen der Konvektion im äußeren Kern

Säkularvariation





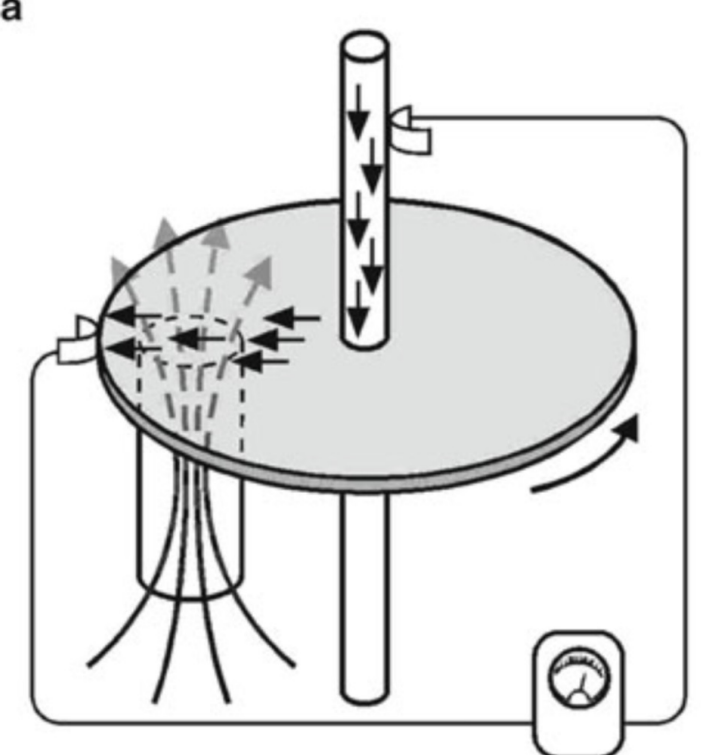
Gliederung

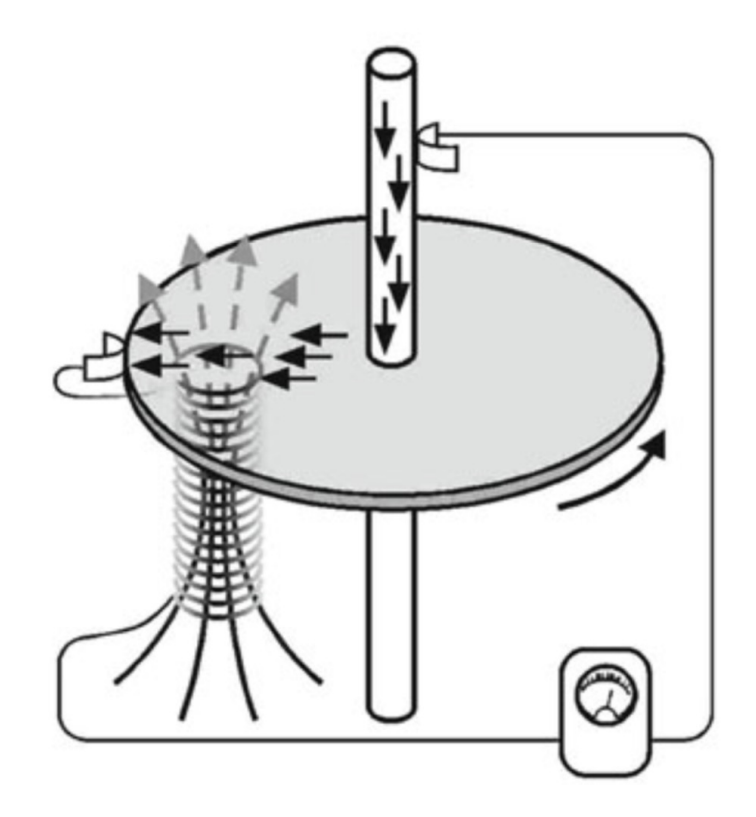


- Mathematische Beschreibung
 - Dipolfeld
 - Nicht-Dipolfeld
- Zeitliche Variationen
- Entstehung
- Außenfeld

Entstehung des Innenfeldes karlsruher Institut für Technologie



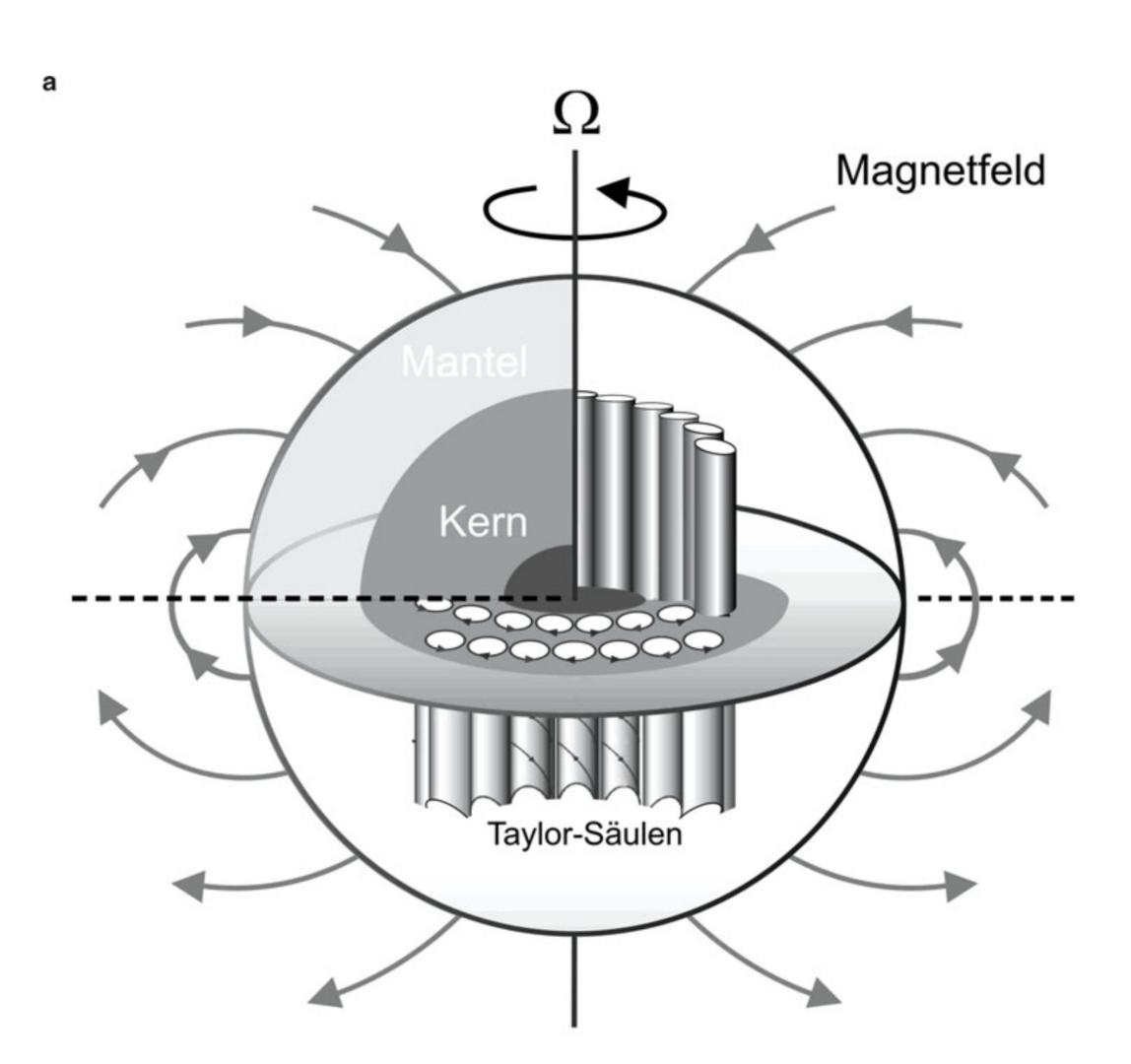




Prinzip des selbst-erregten Geodynamos: Ein Dynamo erzeugt Strom, wenn sich die Kupferscheibe im Feld des Stabmagneten bewegt (links). Wird dieser durch eine Magnetspule ersetzt und der erzeugte Strom in die Spule eingespeist, so bleibt das selbsterregte Magnetfeld erhalten, solange sich die Scheibe dreht (rechts). Das Erdmagnetfeld beruht auf dem Prinzip des selbsterregten Dynamos, allerdings auf sehr viel kompliziertere Weise

Modell zur Entstehung des Innenfeldes

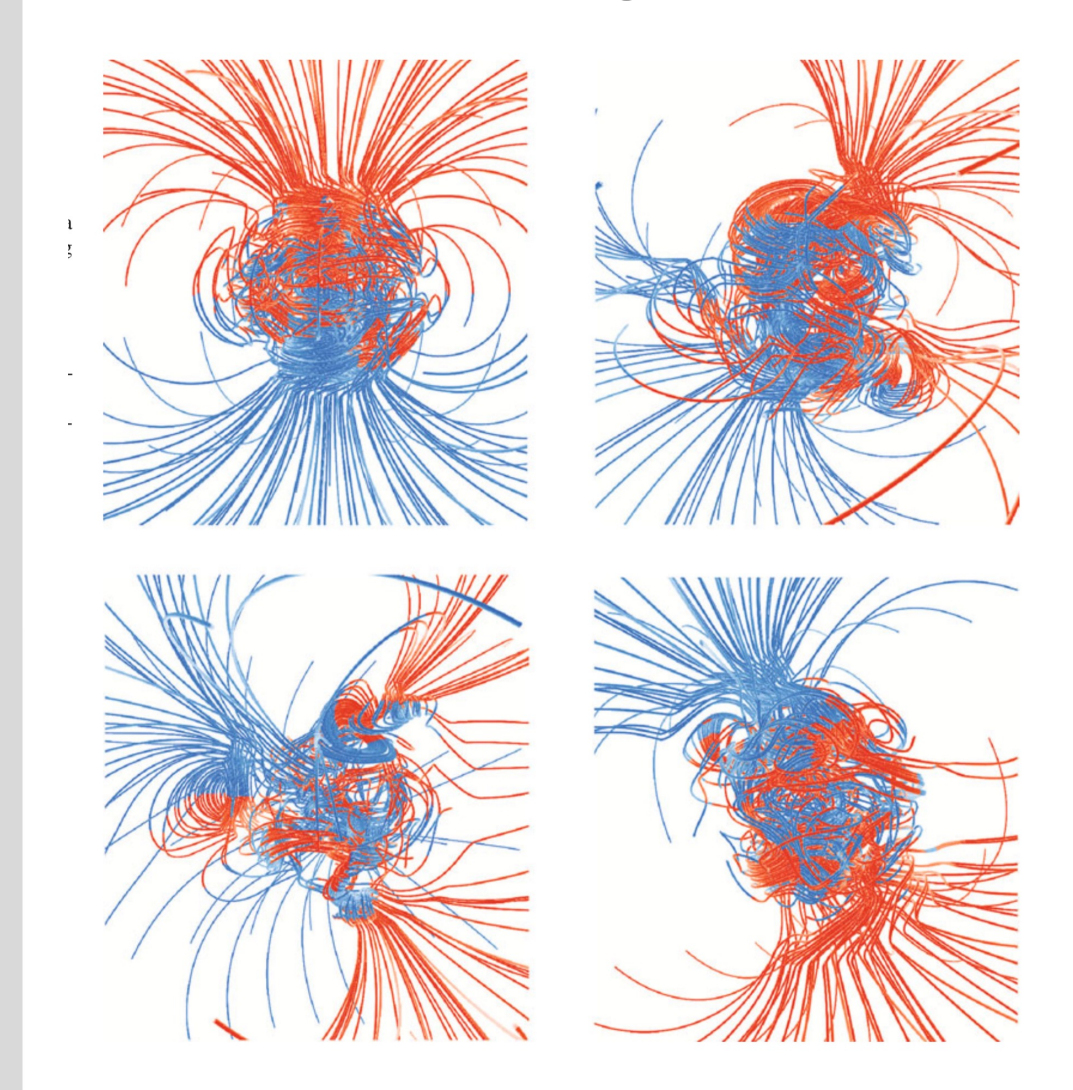




Ein Modell wurde im Labor-Geodynamo am Forschungszentrum Karlsruhe nachgebildet. Dargestellt ist das Funktionsprinzip: das Bild zeigt einen vereinfachten Aufbau der Erde aus festem und flüssigem Kern sowie plastischem Mantel, der bis zur Kruste reicht (von innen nach außen). Im flüssigen Kern können sich durch Temperaturunterschiede Konvektionszellen ausbilden. Die aufgrund der Erdumdrehung zusätzlich wirkende Coriolis-Kraft verursacht eine Ablenkung der Konvektionspfade nach rechts bzw. links auf der Nord- bzw. Südhalbkugel. Dadurch entstehen die dargestellten spiralförmigen Bewegungen in den sogenannten Taylor-Säulen, durch die ein stabiles Magnetfeld erzeugt wird.

Entstehung des Innenfeldes





Erdmagnetfeld aus 3D magnetohydrodynamischen Modellrechnungen von G. A. Glatzmaier (University of Ca-lifornia Santa Cruz) und P. H. Roberts (University of California Los Angeles Rote Feldlinien sind nach innen gerichtet, blaue nach außen. Die Rotationsachse der Modellerde ist vertikal und verläuft durch das Zentrum. Von links nach rechts: Magnetfeld im "heutigen" Zustand und 500 Jahre vor einer Feldumkehr. Unten (von links nach rechts): Magnetfeld in der Mitte der Feldumkehr und 500 Jahre danach

Feldumkehr



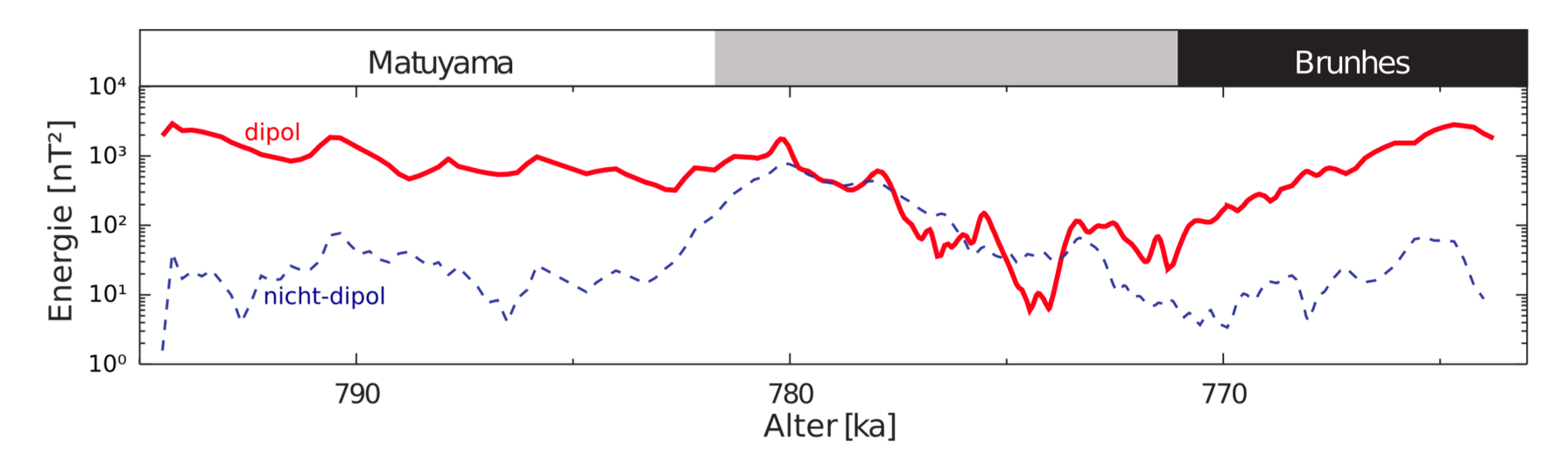


Abbildung 2: Zeitliche Änderung der magnetischen Energie des Dipolanteils (durchgezogene Linie) und der Nicht-Dipolanteile (gestrichelt), dargestellt anhand der Mauersberger-Koeffizienten an der Erdoberfläche während des Matuyama-Brunhes Reversals vor 780.000 Jahren (nach Leonhardt & Fabian, 2007). Graphik: Roman Leonhardt





Aus Weltraumbeobachtungen

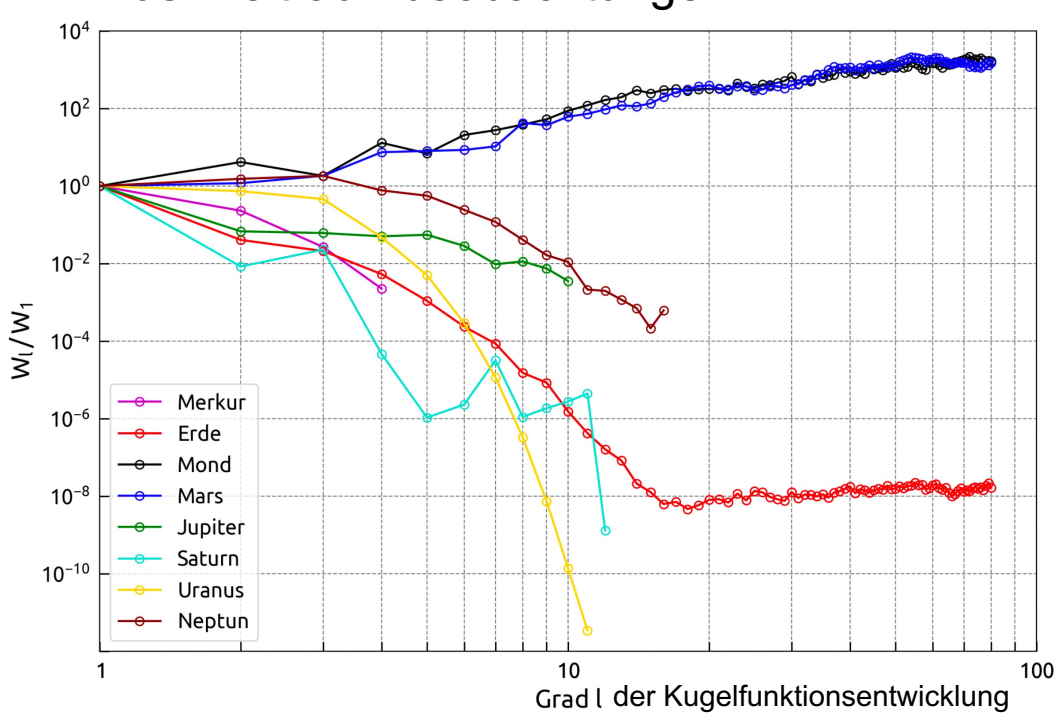


Abbildung 1: Mauersberger-Spektren der internen Anteile der Magnetfelder verschiedener planetarer Körper in unserem Sonnensystem. Die spektralen Werte sind auf die jeweiligen Dipolmomente normalisiert (nach Glassmeier & Heyner, 2021). Graphik: Patrik Kohlhey, TU Braunschweig

Globale Diplolfelder bei Merkur, Jupiter, Saturn, Uranus Neptun. Ursache tief im Inneren. Mechanismus unbekannt.

Mars und Mond keine globalen Felder, weisen aber starke Anomalien auf, die in der Kruste entstehen.

Venus: kein globales Feld

Gliederung

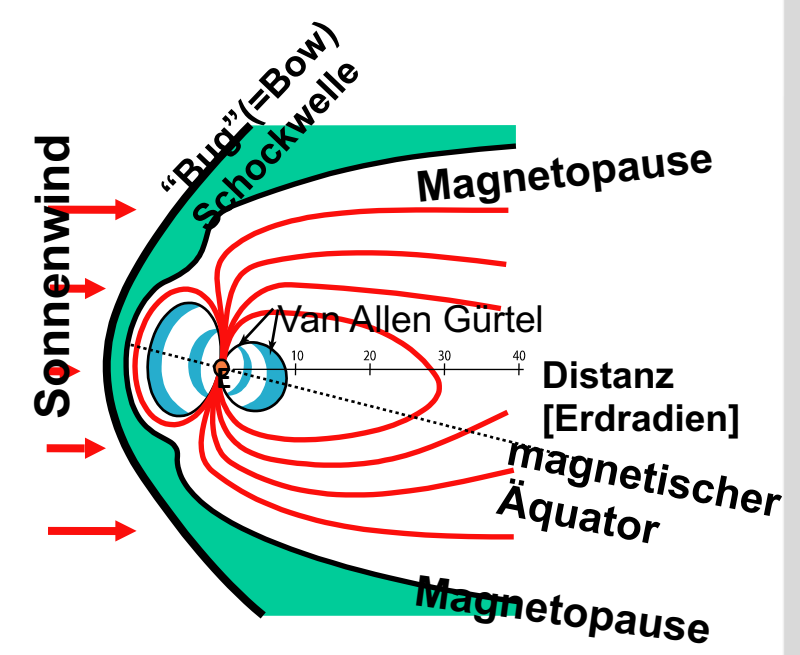


- Mathematische Beschreibung
 - Dipolfeld
 - Nicht-Dipolfeld
- Zeitliche Variationen
- Entstehung
- Außenfeld



Das Außenfeld: Magnetosphäre

- Der "Sonnenwind" besteht aus elektrisch geladenen Teilchen (Elektronen, Protonen).
- Geschwindigkeit relativ zur Erde ≈ 400 m/s.
- Bei dieser Ultraschallgeschwindigkeit bildet sich eine Schock-Welle auf der sonnennahen Seite der Erde (= Magnetopause)



- Die Teilchen des Sonnenwindes (wie elektrischer Strom) verursachen Magnetfelder
- Das Erdmagnetfeld wird auf der Tages-Seite verstärkt und auf der Nacht-Seite abgeschwächt

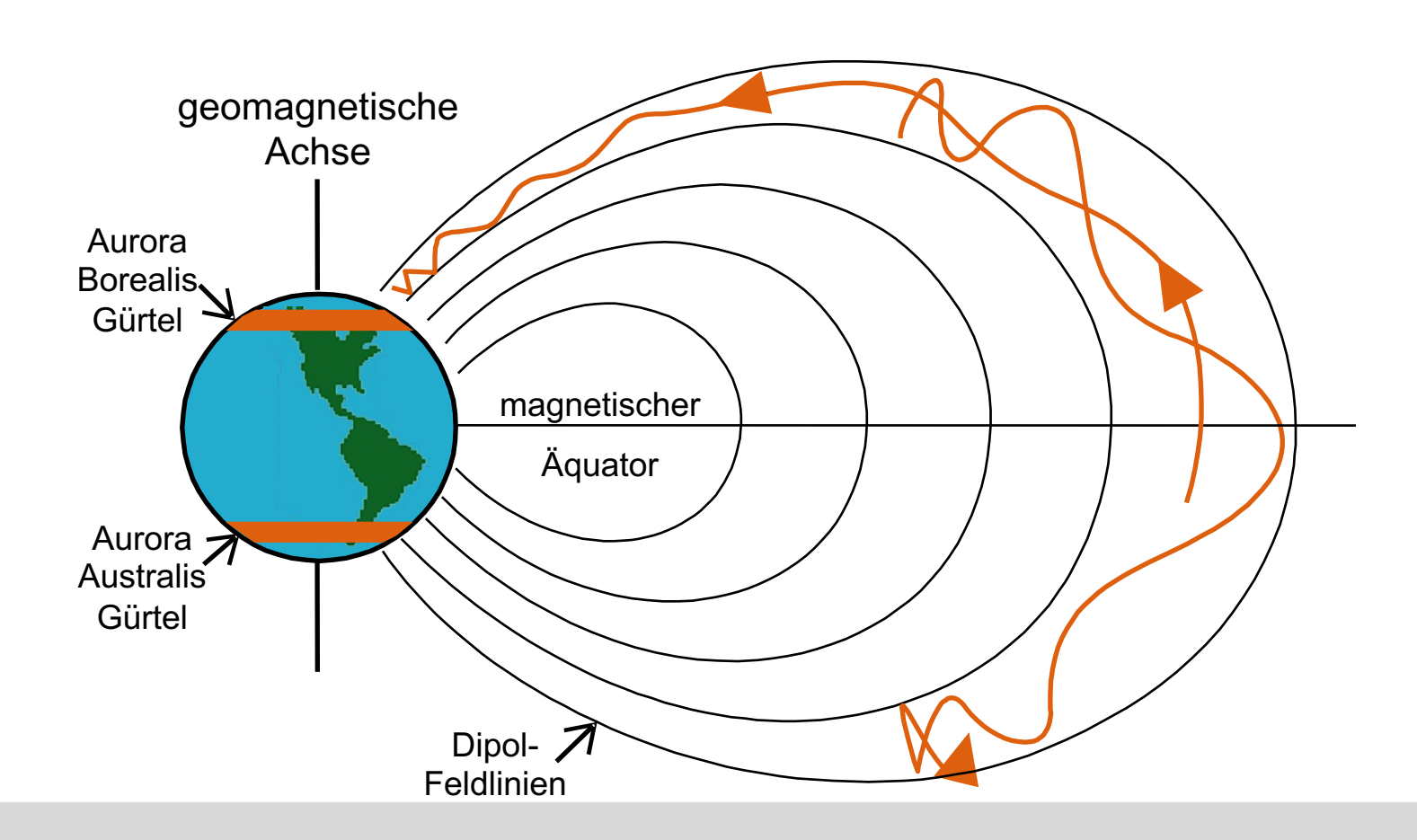


Das Außenfeld: Van Allen Gürtel (Höhe: 2000 – 20000 km)

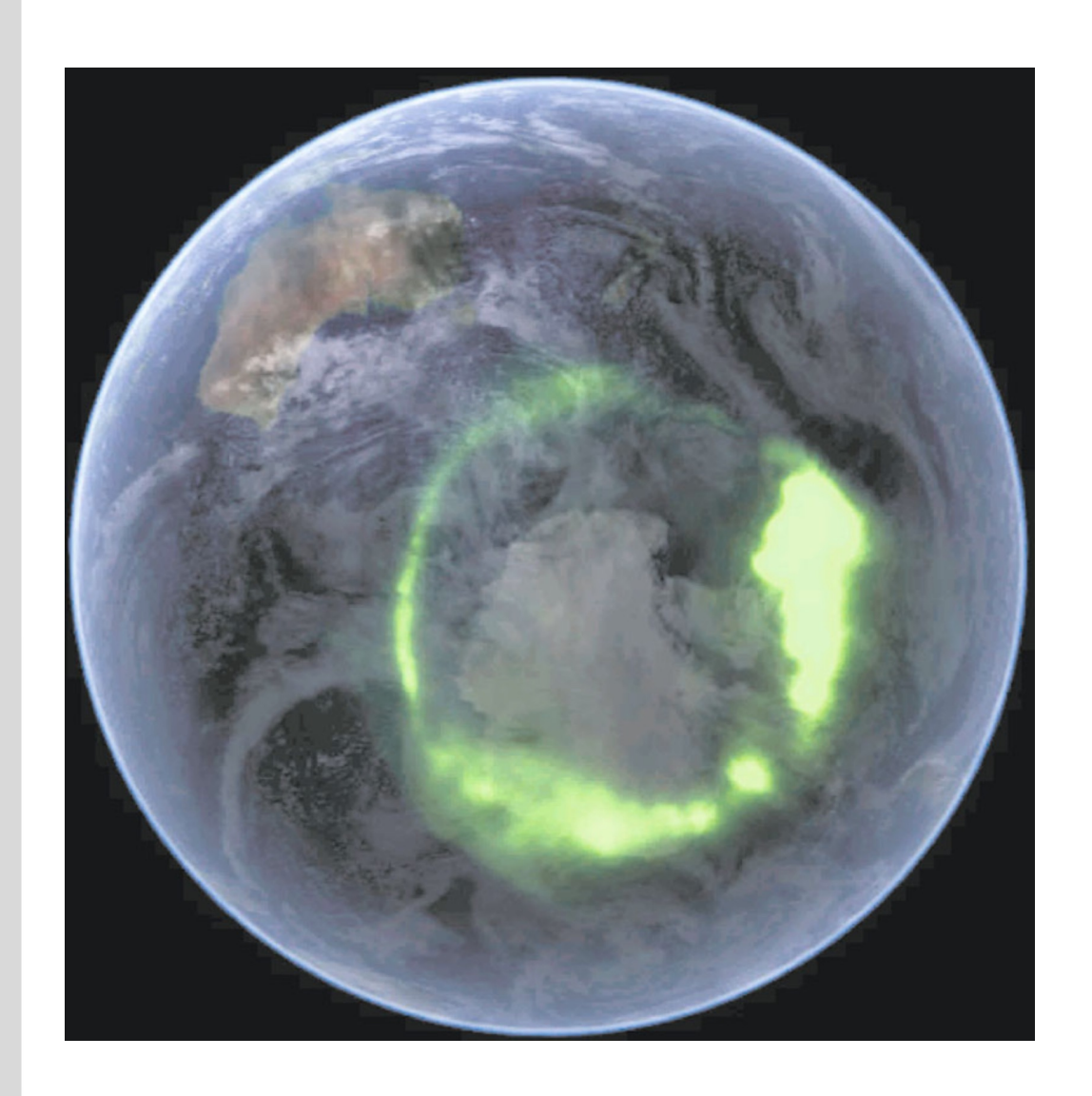
- Ionen des Sonnenwinds (sowie aus der Ionosphäre) werden im Erdmagnetfeld gefangen.
- Die Ionen werden gezwungen, entlang magnetischer Feldlinien schraubenartig von Pol zu Pol zu wandern.
- Es bilden sich "Gürtel" mit intensiver Strahlung: Van Allen Gürtel
 - innerer Gürtel: r = 1.3 1.7 R (2'000 5'000 km Höhe)
 - äusserer Gürtel: r = 3.2 4.2 R (13'000 20'000 km)
 - Die magnetischen Effekte auf der Erdoberfläche sind aufgrund der grossen Entfernung gering.



Die Bewegung der eingefangenen geladenen Partikel im erdmagnetischen Feld







Südliches Polarlicht (aurora australis), aufgenommen vom NASA IMAGE Satelliten am 11. September 2005, vier Tage nach der extrem starken Sonneneruption und dem damit verbundenen starken Plasmafluss in Richtung Erde;

Das Außenfeld – Sonnenwind



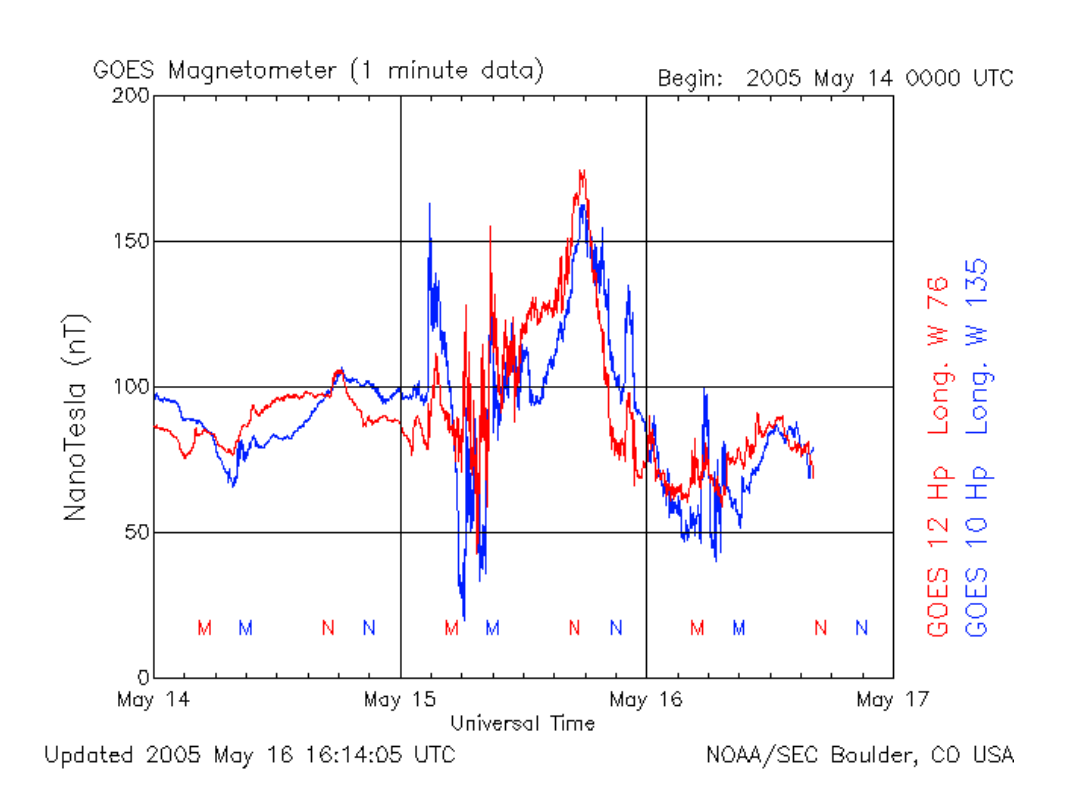
Variation des Erdmagnetfeldes: S_D

- Sonnenflecken lösen immense Strahlung (+ Sonnenwind) aus >>>
 Verstärkung des Erdmagnetfeldes >>> S_D (= solar disturbed variation)
- S_D kann "magnetische Stürme" mit Intensitäten von 100 1000 nT entsprechen.
- Die tägliche Variation und magnetische Stürme sind breitenabhängig (stärker am Pol).
- Während magnetischen Stürmen muss die magnetische Prospektion eingestellt werden. Die Ausbreitung der Radiowellen ("Kurzwelle") wird gestört.

Das Außenfeld - Sonnenwind



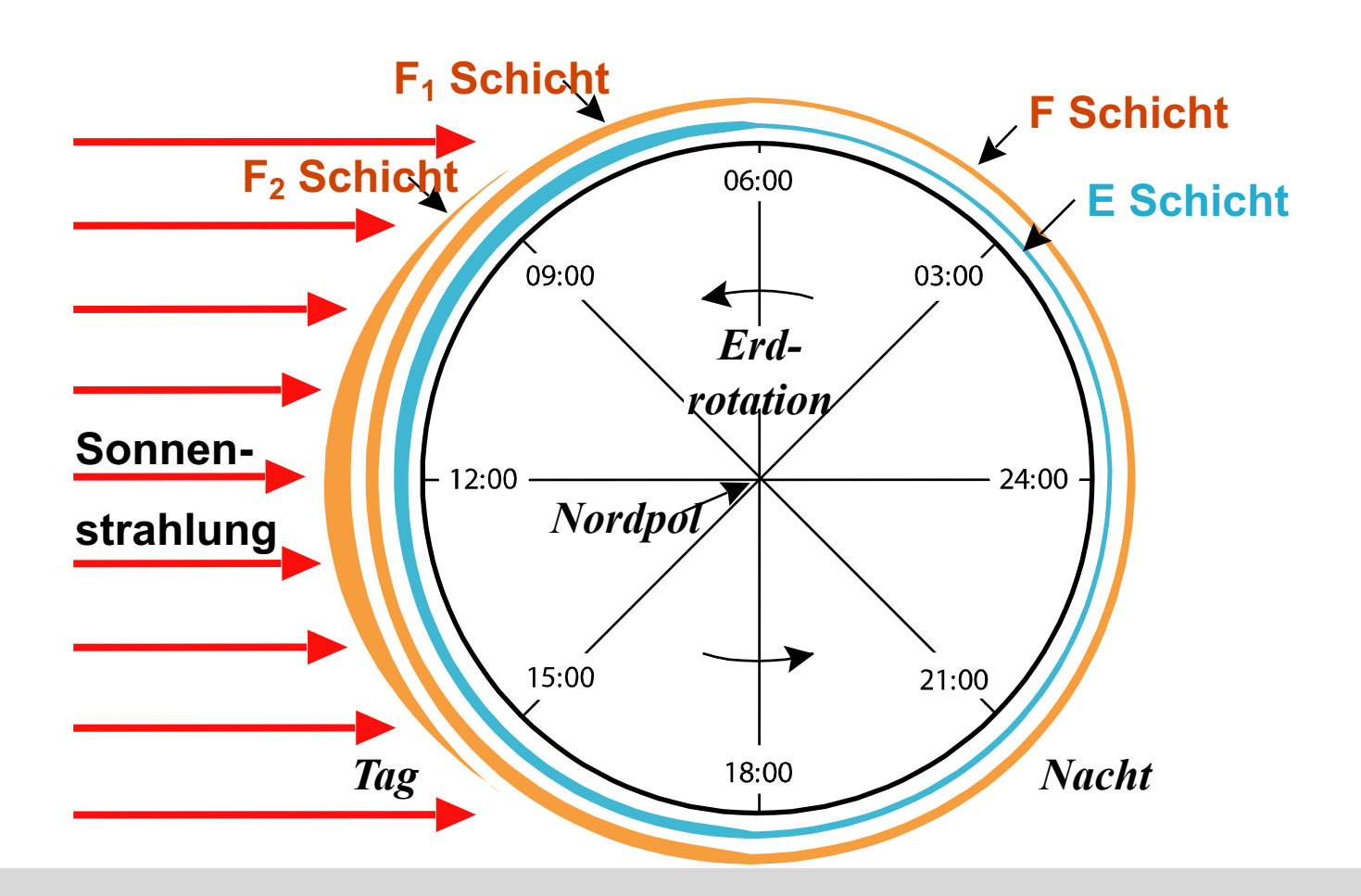
Beispiel eines magnetischen Sturms (15. Mai, 2005).



Das Außenfeld - Ionosphäre



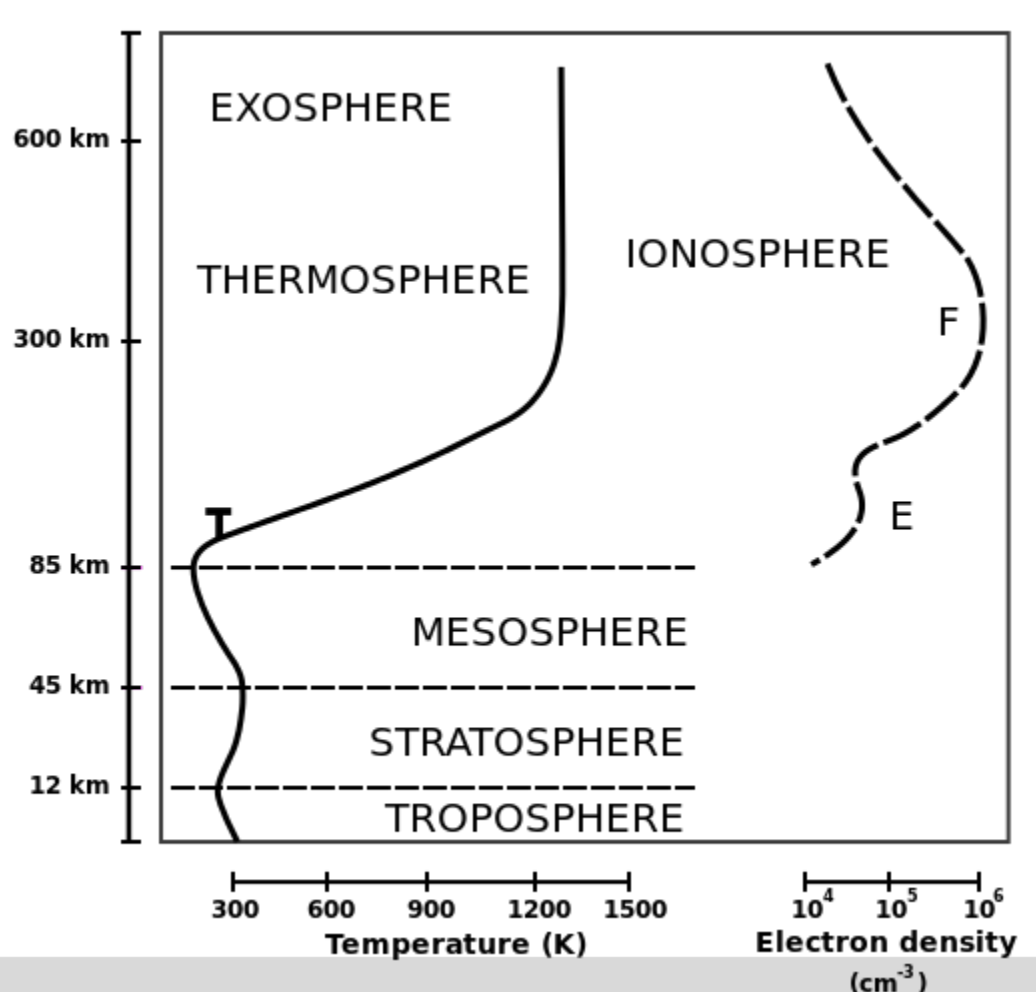
Änderung der Ionosphäre während eines Tages



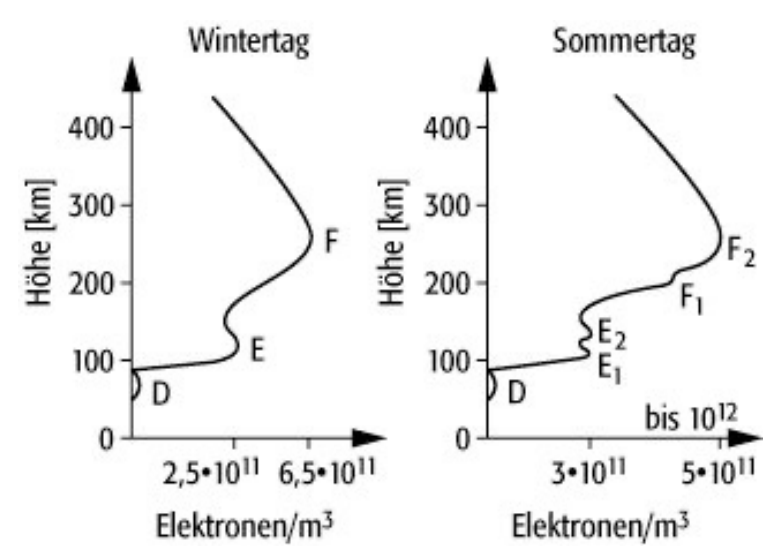
Das Außenfeld- Ionosphäre



F-Schicht und D-Schicht: Ionisation durch UV-Strahlung, E-Schicht: Ionisation durch Röntgen-Strahlung



Ionosphäre: Teil der Atmosphäre eines Himmelskörpers, der große Mengen von Ionen und freien Elektronen enthält.

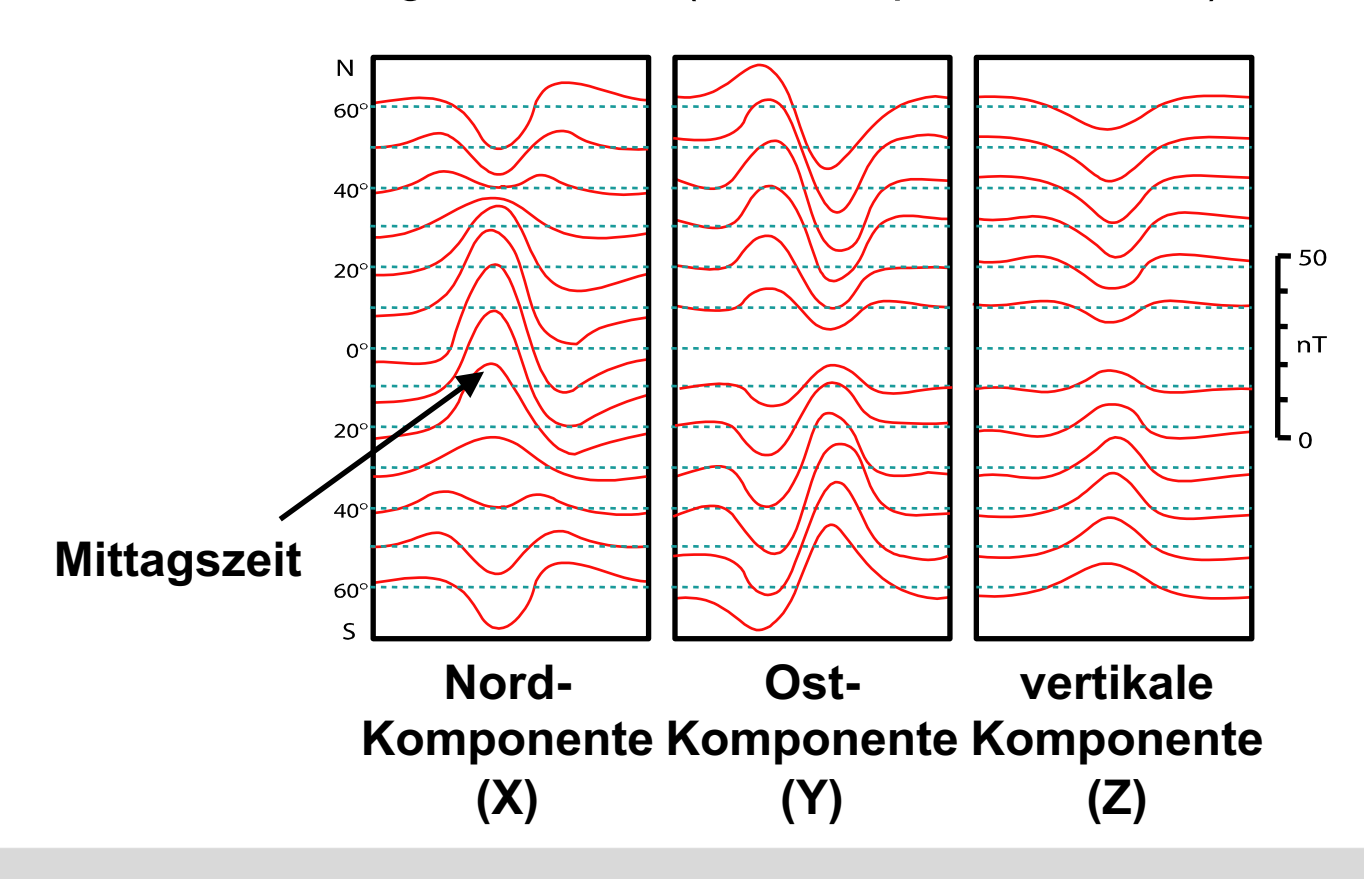


Das Außenfeld - Ionosphäre



Tägliche Variation des Erdmagnetfeldes: SQ

 Infolge der Erddrehung schwanken die Magnetfelder der Ionosphäre während des Tages >>> S_Q (= solar quiet variation)





Vielen Dank für Ihre Aufmerksamkeit!



Zusammenfassung

- Das Erdmagnetfeld entsteht im leitfähigen flüssigen äußeren Erdkern nach dem Prinzip eines selbsterregenden Dynamos
- Es hat zu mehr als 90 % die Form eines Dipols
- Zeitliche Variationen umfassen
 - Tagesvariationen (Atmosphäre, Sonnenwind)
 - Säkularvariationen (Jahre): Polwanderung, Abnahme der Intensität
 - Polumkehrungen (ka)